

# SLAM14讲—10后端1

## 10.1概述

### 10.1.1状态估计的概率解释

在后端优化中，我们通常考虑一个更长的时间（或所有时间内）的状态估计问题，而且不仅使用过去的信息更新自己的状态，也会用未来的信息来更新自己，这种处理方式称为“批量的”（Batch）。如果当前的状态只由过去的时刻决定，甚至只由前一个时刻决定，称为“渐进的”（Incremental）\*\*。

我们已经知道 SLAM 过程可以由运动方程和观测方程来描述。那么，假设在  $t = 0$  到  $t = N$  的时间内，我们有  $\mathbf{x}_0$  到  $\mathbf{x}_N$  那么多个位姿，并且有  $\mathbf{y}_1, \dots, \mathbf{y}_M$  那么多个路标。按照之前的写法，运动和观测方程为：

$$\begin{cases} \mathbf{x}_k = f(\mathbf{x}_{k-1}, \mathbf{u}_k) + \mathbf{w}_k \\ \mathbf{z}_{k,j} = h(\mathbf{y}_j, \mathbf{x}_k) + \mathbf{v}_{k,j} \end{cases} \quad k = 1, \dots, N, j = 1, \dots, M. \quad (10.1)$$

注意：

1. 观测方程中，只由当 $\mathbf{x}_k$ 看到了 $\mathbf{y}_j$ 时，才会产生观测数据。一个位置一般只能看到小部分路标；且SLAM特征点数量众多，故实际中观测方程数量会远远大于运动方程的数量。
2. 运动方程可以没有。如此，有若干种处理方式：①认为确实没有②假设相机不动③假设相机匀速运动。在没有运动方程的情况下，整个优化问题就只有许多个观测方程组成。类似于SfM(Structure from Motion)问题，相当于通过一组图像来恢复运动和结构。SLAM中的图像有时间上的先后顺序，而SfM中允许使用完全无关的图像。

因为每个方程都受噪声影响，所以这里的位姿 $\mathbf{x}$ 和路标 $\mathbf{y}$ 看成服从某种概率分布的随机变量。假设状态量和噪声项服从高斯分布，即在程序中只需要储存它们的均值和协方差矩阵即可。

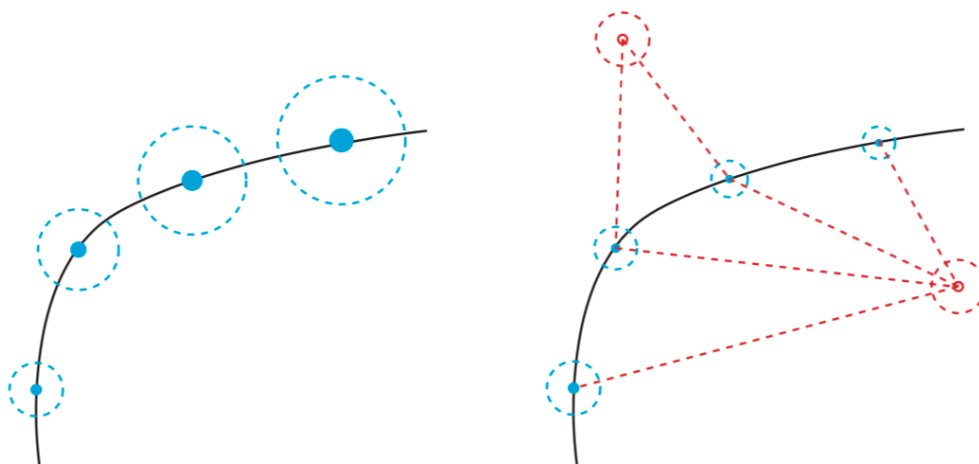


图 10-1 不确定性的直观描述。左侧：只有运动方程时，由于下一个时刻的位姿是在上一个时刻基础上添加了噪声，所以不确定性越来越大。右侧：存在路标点（红色）时，不确定性会明显减小。不过请注意这只是一个直观的示意图，并非实际数据。

- 令 $\mathbf{x}_k$ 为k时刻的所有未知量。它包含了当前时刻的相机位姿与m个路标点。在这种记号的意义下，写成：

$$\mathbf{x}_k \triangleq \{\mathbf{x}_k, \mathbf{y}_1, \dots, \mathbf{y}_m\}. \quad (10.2)$$

同时，把k时刻的所有观测记作 $\mathbf{z}_k$ 。于是运动方程和观测方程可以写为：

$$\begin{cases} \mathbf{x}_k = f(\mathbf{x}_{k-1}, \mathbf{u}_k) + \mathbf{w}_k \\ \mathbf{z}_k = h(\mathbf{x}_k) + \mathbf{v}_k \end{cases} \quad k = 1, \dots, N. \quad (10.3)$$

- 现在考虑第k时刻的情况。我们希望用0到k中的数据，来估计现在的状态分布：

$$P(\mathbf{x}_k | \mathbf{x}_0, \mathbf{u}_{1:k}, \mathbf{z}_{1:k}). \quad (10.4)$$

按照Bayes法则有：

$$P(\mathbf{x}_k | \mathbf{x}_0, \mathbf{u}_{1:k}, \mathbf{z}_{1:k}) \propto P(\mathbf{z}_k | \mathbf{x}_k) P(\mathbf{x}_k | \mathbf{x}_0, \mathbf{u}_{1:k}, \mathbf{z}_{1:k-1}). \quad (10.5)$$

然后按照 $\mathbf{x}_{k-1}$ 时刻为条件概率展开：

$$P(\mathbf{x}_k | \mathbf{x}_0, \mathbf{u}_{1:k}, \mathbf{z}_{1:k-1}) = \int P(\mathbf{x}_k | \mathbf{x}_{k-1}, \mathbf{x}_0, \mathbf{u}_{1:k}, \mathbf{z}_{1:k-1}) P(\mathbf{x}_{k-1} | \mathbf{x}_0, \mathbf{u}_{1:k}, \mathbf{z}_{1:k-1}) d\mathbf{x}_{k-1}. \quad (10.6)$$

如何处理上述有以下两种方法：

1. 假设马尔科夫性，据此可以得到以\*\*扩展卡尔曼滤波（EKF）\*\*为代表的滤波器方法。
2. 考虑k时刻状态与之前所有状态的关系，此时讲得到非线性优化为主体的优化框架。

### 10.1.2 线性系统和KF

1. 预测：

$$\bar{\mathbf{x}}_k = \mathbf{A}_k \hat{\mathbf{x}}_{k-1} + \mathbf{u}_k, \quad \bar{\mathbf{P}}_k = \mathbf{A}_k \hat{\mathbf{P}}_{k-1} \mathbf{A}_k^T + \mathbf{R}. \quad (10.24)$$

2. 更新：先计算  $\mathbf{K}$ ，它又称为卡尔曼增益：

$$\mathbf{K} = \bar{\mathbf{P}}_k \mathbf{C}_k^T (\mathbf{C}_k \bar{\mathbf{P}}_k \mathbf{C}_k^T + \mathbf{Q})^{-1}. \quad (10.25)$$

然后计算后验概率的分布：

$$\begin{aligned} \hat{\mathbf{x}}_k &= \bar{\mathbf{x}}_k + \mathbf{K} (\mathbf{z}_k - \mathbf{C}_k \bar{\mathbf{x}}_k) \\ \hat{\mathbf{P}}_k &= (\mathbf{I} - \mathbf{K} \mathbf{C}_k) \bar{\mathbf{P}}_k. \end{aligned} \quad (10.26)$$

### 10.1.3 非线性系统和EKF

我们希望把卡尔曼滤波器的结果拓展到非线性系统中来，称为扩展卡尔曼滤波器 (Extended Kalman Filter, EKF)。通常的做法是，在某个点附近考虑运动方程以及观测方程的一阶泰勒展开，只保留一阶项，即线性的部分，然后按照线性系统进行推导。令  $k-1$  时刻的均值与协方差矩阵为  $\hat{\mathbf{x}}_{k-1}, \hat{\mathbf{P}}_{k-1}$ 。在  $k$  时刻，我们把运动方程和观测方程，在  $\hat{\mathbf{x}}_{k-1}, \hat{\mathbf{P}}_{k-1}$  处进行线性化（相当于一阶泰勒展开），有：

$$\mathbf{x}_k \approx f(\hat{\mathbf{x}}_{k-1}, \mathbf{u}_k) + \left. \frac{\partial f}{\partial \mathbf{x}_{k-1}} \right|_{\hat{\mathbf{x}}_{k-1}} (\mathbf{x}_{k-1} - \hat{\mathbf{x}}_{k-1}) + \mathbf{w}_k. \quad (10.27)$$

记这里的偏导数为：

$$\mathbf{F} = \left. \frac{\partial f}{\partial \mathbf{x}_{k-1}} \right|_{\hat{\mathbf{x}}_{k-1}}. \quad (10.28)$$

同样的，对于观测方程，亦有：

$$\mathbf{z}_k \approx h(\bar{\mathbf{x}}_k) + \left. \frac{\partial h}{\partial \mathbf{x}_k} \right|_{\bar{\mathbf{x}}_k} (\mathbf{x}_k - \hat{\mathbf{x}}_k) + \mathbf{n}_k. \quad (10.29)$$

记这里的偏导数为：

$$\mathbf{H} = \left. \frac{\partial h}{\partial \mathbf{x}_k} \right|_{\bar{\mathbf{x}}_k}. \quad (10.30)$$

那么，在预测步骤中，根据运动方程有：

$$P(\mathbf{x}_k | \mathbf{x}_0, \mathbf{u}_{1:k}, \mathbf{z}_{0:k-1}) = N(f(\hat{\mathbf{x}}_{k-1}, \mathbf{u}_k), \mathbf{F} \hat{\mathbf{P}}_{k-1} \mathbf{F}^T + \mathbf{R}_k). \quad (10.31)$$

这些推导和卡尔曼滤波是十分相似的。为方便表述，记这里先验和协方差的均值为

$$\bar{\mathbf{x}}_k = f(\hat{\mathbf{x}}_{k-1}, \mathbf{u}_k), \quad \bar{\mathbf{P}}_k = \mathbf{F} \hat{\mathbf{P}}_k \mathbf{F}^T + \mathbf{R}_k. \quad (10.32)$$

然后，考虑在观测中，我们有：

$$P(\mathbf{z}_k|\mathbf{x}_k) = N(h(\bar{\mathbf{x}}_k) + \mathbf{H}(\mathbf{x}_k - \bar{\mathbf{x}}_k), \mathbf{Q}_k). \quad (10.33)$$

最后，根据最开始的 Bayes 展开式，可以推导出  $\mathbf{x}_k$  的后验概率形式。我们略去中间的推导过程，只介绍其结果。读者可以仿照着卡尔曼滤波器的方式，推导 EKF 的预测与更新方程。简而言之，我们会先定义一个**卡尔曼增益**  $\mathbf{K}_k$ ：

$$\mathbf{K}_k = \bar{\mathbf{P}}_k \mathbf{H}^T (\mathbf{H} \bar{\mathbf{P}}_k \mathbf{H}^T + \mathbf{Q}_k)^{-1}. \quad (10.34)$$

在卡尔曼增益的基础上，后验概率的形式为：

$$\hat{\mathbf{x}}_k = \bar{\mathbf{x}}_k + \mathbf{K}_k (\mathbf{z}_k - h(\bar{\mathbf{x}}_k)), \hat{\mathbf{P}}_k = (\mathbf{I} - \mathbf{K}_k \mathbf{H}) \bar{\mathbf{P}}_k. \quad (10.35)$$

卡尔曼滤波器给出了在线性化之后，状态变量分布的变化过程。在线性系统和高斯噪声下，卡尔曼滤波器给出了无偏最优估计。而在 SLAM 这种非线性的情况下，它给出了单次线性近似下最大后验估计（MAP）。

## 10.1.4 EKF的讨论

EKF在计算资源受限，或待估计量比较简单的场合比较有效，但局限有：

1. 一定程度上假设了马尔科夫性。如果当前帧确实与很久之前的数据有关（如回环），那么滤波器很难处理这种情况。而非线性优化则倾向于使用所有的历史数据，当然也有更多的计算。
2. 存在非线性误差。假设某点处的线性化近似，在后验概率处仍然是有效的，但是实际上离工作点较远的时候，一节泰勒展开并不一定能近似整个函数，这取决于运动模型和观测模型的非线性情况。
3. EKF的存储量很大，且与状态量呈平方增长，故不适用于大兴场景。

## 10.2 BA与图优化

### 10.2.1 投影模型和BA代价函数

- 从一个世界坐标系中的点 $\mathbf{p}$ 出发，把相机的内外参数和畸变都考虑进来，最后投影成像素坐标，一共需要以下几个步骤：

1. 首先，把世界坐标转换到相机坐标，这里将用到相机外参数  $(\mathbf{R}, \mathbf{t})$ ：

$$\mathbf{P}' = \mathbf{R}\mathbf{p} + \mathbf{t} = [X', Y', Z']^T. \quad (10.36)$$

2. 然后，将  $\mathbf{P}'$  投至归一化平面，得到归一化坐标：

$$\mathbf{P}_c = [u_c, v_c, 1]^T = [X'/Z', Y'/Z', 1]^T. \quad (10.37)$$

3. 对归一化坐标去畸变，得到去畸变后的坐标。这里暂时只考虑径向畸变：

$$\begin{cases} u'_c = u_c (1 + k_1 r_c^2 + k_2 r_c^4) \\ v'_c = v_c (1 + k_1 r_c^2 + k_2 r_c^4) \end{cases}. \quad (10.38)$$

4. 最后，根据内参模型，计算像素坐标：

$$\begin{cases} u_s = f_x u'_c + c_x \\ v_s = f_y v'_c + c_y \end{cases}. \quad (10.39)$$

流程图示意图如下：

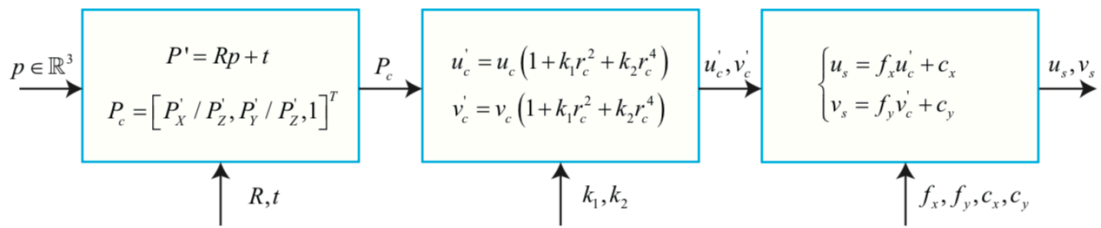


图 10-2 计算流程示意图。左侧的  $\mathbf{p}$  是全局坐标系下的三维坐标点，右侧的  $u_s, v_s$  是该点在图像平面上的最终像素坐标。中间畸变模块中的  $r_c^2 = u_c^2 + v_c^2$

之前我们抽象地记成  $\mathbf{z} = \mathbf{h}(\mathbf{x}, \mathbf{y})$ 。现在我们给出详细的参数化过程， $\mathbf{x}$  指此时相机的位姿，即外参  $\mathbf{R}, \mathbf{t}$ ，它对应的李代数为  $\boldsymbol{\xi}$ 。路标  $\mathbf{y}$  即这里的三维点  $\mathbf{p}$ ，而观测数据则是像素坐标  $\mathbf{z} = [u_s, v_s]^T$ 。以最小二乘的角度考虑，可以写出关于此次观测误差：

$$\mathbf{e} = \mathbf{z} - \mathbf{h}(\boldsymbol{\xi}, \mathbf{p}). \quad (10.41)$$

那么整体的代价函数为：

$$\frac{1}{2} \sum_{i=1}^m \sum_{j=1}^n \|e_{ij}\|^2 = \frac{1}{2} \sum_{i=1}^m \sum_{j=1}^n \|\mathbf{z}_{ij} - \mathbf{h}(\boldsymbol{\xi}_i, \mathbf{p}_j)\|^2. \quad (10.42)$$

我们求解这个最小二乘，相当于对位姿和路标做了调整，就是所谓的BA。

## 10.2.2 BA的求解

在整体BA目标函数上，我们把自变量定义成所有待优化的变量：

$$\mathbf{x} = [\boldsymbol{\xi}_1, \dots, \boldsymbol{\xi}_m, \mathbf{p}_1, \dots, \mathbf{p}_n]^T. \quad (10.43)$$

当我们给自变量一个增量时，目标函数变为：

$$\frac{1}{2} \|f(\mathbf{x} + \Delta \mathbf{x})\|^2 \approx \frac{1}{2} \sum_{i=1}^m \sum_{j=1}^n \| \mathbf{e}_{ij} + \mathbf{F}_{ij} \Delta \boldsymbol{\xi}_i + \mathbf{E}_{ij} \Delta \mathbf{p}_j \|^2. \quad (10.44)$$

其中 $\mathbf{F}_{ij}$ 表示整个代价函数在当前状态下对相机姿态的偏导数， $\mathbf{E}_{ij}$ 表示该函数对路标点位置的偏导。

它们的推导了。现在，把相机位姿变量放在一起：

$$\mathbf{x}_c = [\boldsymbol{\xi}_1, \boldsymbol{\xi}_2, \dots, \boldsymbol{\xi}_m]^T \in \mathbb{R}^{6m}, \quad (10.45)$$

并把空间点的变量也放在一起：

$$\mathbf{x}_p = [\mathbf{p}_1, \mathbf{p}_2, \dots, \mathbf{p}_n]^T \in \mathbb{R}^{3n}, \quad (10.46)$$

那么，式（10.44）可以简化表达为如下：

$$\frac{1}{2} \|f(\mathbf{x} + \Delta \mathbf{x})\|^2 = \frac{1}{2} \|\mathbf{e} + \mathbf{F} \Delta \mathbf{x}_c + \mathbf{E} \Delta \mathbf{x}_p\|^2. \quad (10.47)$$

我们可以利用G-N或L-M方法进行求解，差别在于 $\mathbf{H}$ 的形式是 $\mathbf{J}^T \mathbf{J}$ 还是 $\mathbf{J}^T \mathbf{J} + \lambda \mathbf{I}$ 。因为把变量归类成了位姿和空间点两种，故雅可比矩阵可以分块为：

$$\mathbf{J} = [\mathbf{F} \ \mathbf{E}]. \quad (10.49)$$

那么，以 G-N 为例，则  $\mathbf{H}$  矩阵为：

$$\mathbf{H} = \mathbf{J}^T \mathbf{J} = \begin{bmatrix} \mathbf{F}^T \mathbf{F} & \mathbf{F}^T \mathbf{E} \\ \mathbf{E}^T \mathbf{F} & \mathbf{E}^T \mathbf{E} \end{bmatrix}. \quad (10.50)$$

### 10.2.3 稀疏性和边缘化

$\mathbf{H}$ 矩阵的稀疏性是由雅可比 $\mathbf{J}(\mathbf{x})$ 引起的。考虑这些代价函数当中的其中一个 $\mathbf{e}_{ij}$ 。这个误差项只描述了在 $\boldsymbol{\xi}_i$ 看到 $\mathbf{p}_j$ 这件事，只涉及到第 $i$ 个相机位姿和第 $j$ 个路标点，对其余部分的变量的导数都为0，故该误差项对应的雅可比矩阵有下面的形式：

$$\mathbf{J}_{ij}(\mathbf{x}) = \left( \mathbf{0}_{2 \times 6}, \dots, \mathbf{0}_{2 \times 6}, \frac{\partial \mathbf{e}_{ij}}{\partial \boldsymbol{\xi}_i}, \mathbf{0}_{2 \times 6}, \dots, \mathbf{0}_{2 \times 3}, \dots, \mathbf{0}_{2 \times 3}, \frac{\partial \mathbf{e}_{ij}}{\partial \mathbf{p}_j}, \mathbf{0}_{2 \times 3}, \dots, \mathbf{0}_{2 \times 3} \right). \quad (10.51)$$

其中 $\mathbf{0}_{2 \times 6}$ 表示维度为2x6的0矩阵，该误差项对相机姿态的偏导维度为2x6，对路标点的偏导为2x3。

- 某个误差项 $\mathbf{J}$ 有稀疏性时，对 $\mathbf{H}$ 的贡献也有稀疏形式

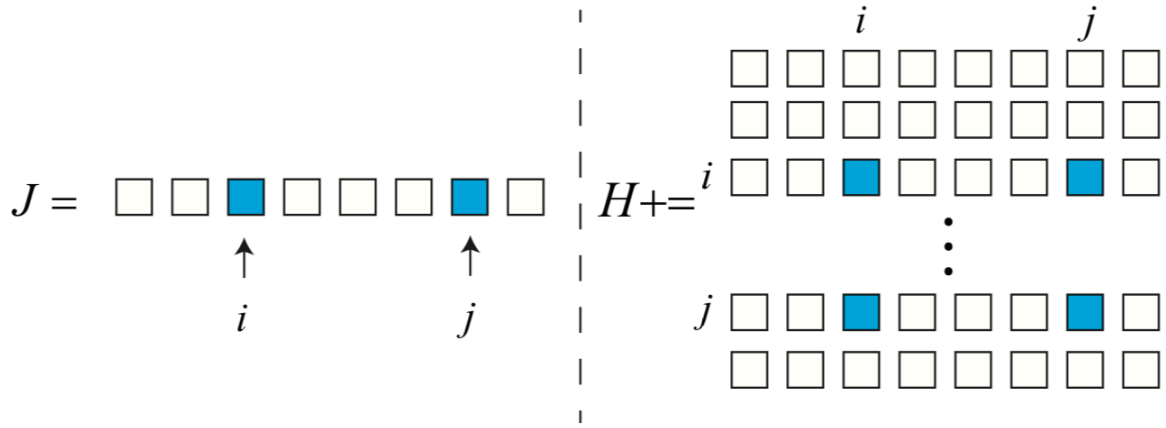


图 10-3 当某个误差项  $\mathbf{J}$  具有稀疏性时，它对  $\mathbf{H}$  的贡献也具有稀疏形式。

设  $\mathbf{J}_{ij}$  只在  $i,j$  处有非零块，那么它对  $\mathbf{H}$  的贡献为  $\mathbf{J}_{ij}^T \mathbf{J}_{ij}$ ，具有示意图上所画的稀疏形式，即位于  $(i,i), (i,j), (j,i), (j,j)$  有非零块。对于整体的  $\mathbf{H}$ ，由于：

$$\mathbf{H} = \sum_{i,j} \mathbf{J}_{ij}^T \mathbf{J}_{ij}, \quad (10.52)$$

我们可以对  $\mathbf{H}$  进行分块：

$$\mathbf{H} = \begin{bmatrix} \mathbf{H}_{11} & \mathbf{H}_{12} \\ \mathbf{H}_{21} & \mathbf{H}_{22} \end{bmatrix}. \quad (10.53)$$

这里  $\mathbf{H}_{11}$  只和相机位姿有关，而  $\mathbf{H}_{22}$  只和路标点有关。当我们遍历  $i,j$  时，以下事实总是成立的：

1. 不管  $i,j$  怎么变， $\mathbf{H}_{11}$  都是对角阵，只在  $\mathbf{H}_{i,i}$  处有非零块；
  2. 同理， $\mathbf{H}_{22}$  也是对角阵，只在  $\mathbf{H}_{j,j}$  处有非零块；
  3. 对于  $\mathbf{H}_{12}$  和  $\mathbf{H}_{21}$ ，它们可能是稀疏的，也可能是稠密的，视具体的观测数据而定。
- 举例：假设一个场景内有2个相机位姿( $\mathbf{C}_1, \mathbf{C}_2$ )和6个路标( $\mathbf{P}_1, \mathbf{P}_2, \mathbf{P}_3, \mathbf{P}_4, \mathbf{P}_5, \mathbf{P}_6$ )，这些相机和点云所对应的变量为  $\xi_i$ ， $i=1,2$  以及  $\mathbf{p}_j$ ， $j=1, 2 \dots 6$ 。相机  $\mathbf{C}_1$  观测到路标  $\mathbf{P}_1, \mathbf{P}_2, \mathbf{P}_3, \mathbf{P}_4$ ，相机  $\mathbf{C}_2$  观测到路标  $\mathbf{P}_3, \mathbf{P}_4, \mathbf{P}_5, \mathbf{P}_6$ 。相机和路标用圆形节点表示，若能观测到则连上一条边：

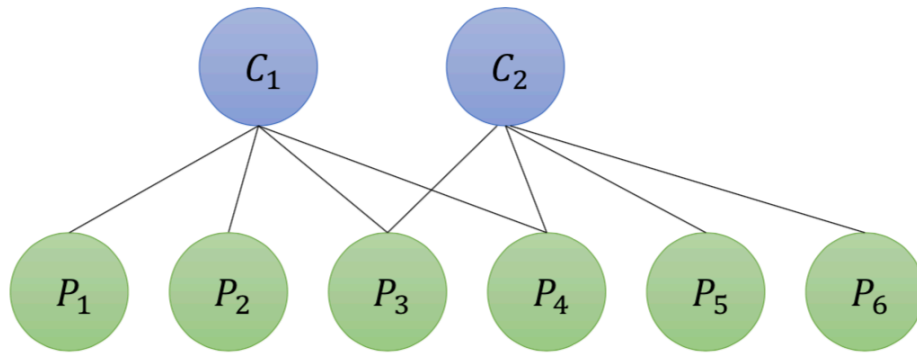


图 10-4 点和边组成的示意图。该图显示相机  $C_1$  观测到了路标点  $P_1, P_2, P_3, P_4$ ，相机  $C_2$  看到了  $P_3$  到  $P_6$ 。

可以推测出该场景下的BA目标函数应该是：

$$\frac{1}{2} \left( \|e_{11}\|^2 + \|e_{12}\|^2 + \|e_{13}\|^2 + \|e_{14}\|^2 + \|e_{23}\|^2 + \|e_{24}\|^2 + \|e_{25}\|^2 + \|e_{26}\|^2 \right). \quad (10.54)$$

这里的  $e_{ij}$  使用之前定义过的代价函数，即式 (10.42)。以  $e_{11}$  为例，它描述了在  $C_1$  看到了  $P_1$  这件事，与其他的相机位姿和路标无关。令  $J_{11}$  为  $e_{11}$  所对应的雅可比矩

阵，不难看出  $e_{11}$  对相机变量  $\xi_2$  和路标点  $p_2, \dots, p_6$  的偏导都为 0。我们把所有变量以  $x = (\xi_1, \xi_2, p_1, \dots, p_6)^T$  的顺序摆放，则有：

$$J_{11} = \frac{\partial e_{11}}{\partial x} = \left( \frac{\partial e_{11}}{\partial \xi_1}, \mathbf{0}_{2 \times 6}, \frac{\partial e_{11}}{\partial p_1}, \mathbf{0}_{2 \times 3}, \mathbf{0}_{2 \times 3}, \mathbf{0}_{2 \times 3}, \mathbf{0}_{2 \times 3}, \mathbf{0}_{2 \times 3} \right). \quad (10.55)$$

为了方便表示稀疏性，我们用带有颜色的方块表示矩阵在该方块内有数值，其余没有颜色的区域表示矩阵在该处数值都为 0。那么上面的  $J_{11}$  则可以表示成图 10-5 的图案。同理，其他的雅可比矩阵也会有类似的稀疏图案。

$$J_{11} = \begin{bmatrix} C_1 & C_2 & P_1 & P_2 & P_3 & P_4 & P_5 & P_6 \\ \text{blue block} & & \text{blue block} & & & & & \end{bmatrix}$$



为了得到该目标函数对应的雅可比矩阵，我们可以将这些  $\mathbf{J}_{ij}$  按照一定顺序列为向量，那么整体雅可比矩阵以及相应的  $\mathbf{H}$  矩阵的稀疏情况就是图 10-6 中所展示的那样。

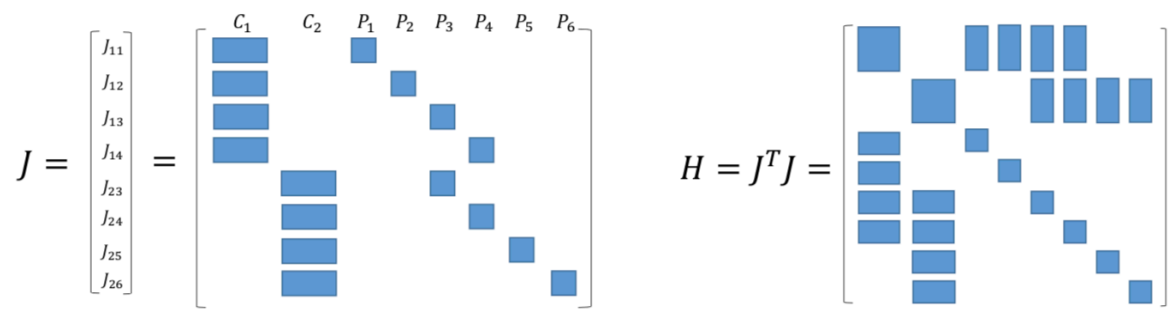


图 10-6 Jacobian 矩阵的稀疏性 (左) 和  $\mathbf{H}$  矩阵的稀疏性 (右)，蓝色的方块表示矩阵在对应的矩阵块处有数值，其余没有颜色的部分表示矩阵在该处的数值始终为 0。

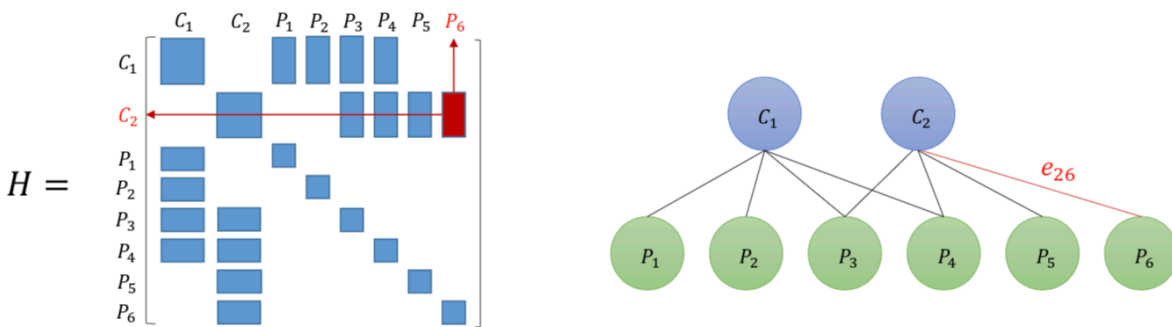


图 10-7  $\mathbf{H}$  矩阵中非零矩阵块和图中边的对应关系。如左图当中的  $\mathbf{H}$  矩阵当中红色的矩阵块，表示在右图中其对应的变量  $C_2$  和  $P_6$  之间存在一条边  $e_{26}$ 。

。一般情况下的  $\mathbf{H}$  矩阵。此时假设  $m$  个相机位姿， $n$  个路标点。 $n \gg m$ 。

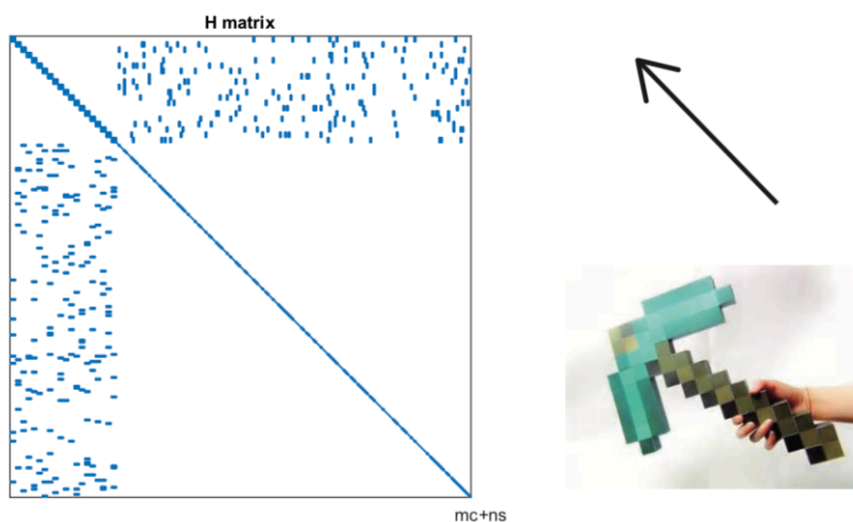


图 10-8 一般情况下的  $H$  矩阵。

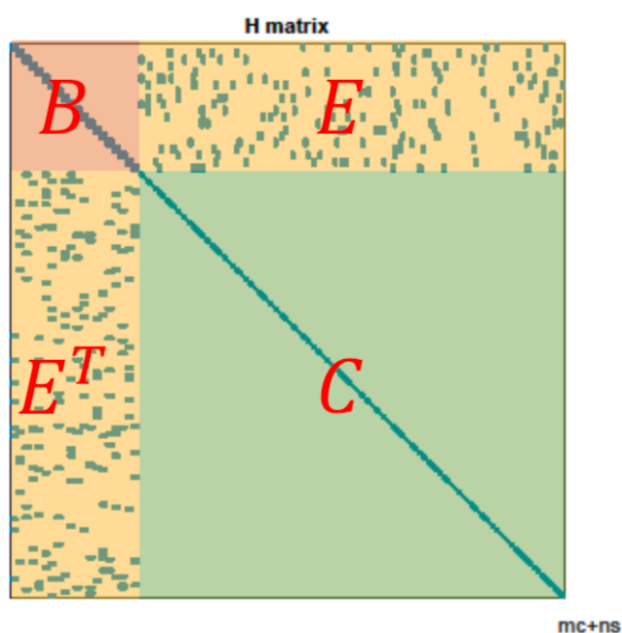


图 10-9  $H$  矩阵的区域划分。

- 利用  $H$  的稀疏性加速计算的方法：Schur消元/边缘化

我们可以把  $H$  划分成四个矩阵块  $B$ ,  $E$ ,  $C$ , 左上角为对角矩阵块矩阵, 每个对角块元素的维度与相机位姿的维度相等, 且是一个对角块矩阵。右下角也是对角块矩阵, 每个对角块的维度是路标的维度。

于是, 对应的线性方程组也可以由  $H\Delta x = g$  变为如下形式:

$$\begin{bmatrix} B & E \\ E^T & C \end{bmatrix} \begin{bmatrix} \Delta x_c \\ \Delta x_p \end{bmatrix} = \begin{bmatrix} v \\ w \end{bmatrix}. \quad (10.56)$$

其中  $B$  是对角块矩阵, 每个对角块的维度和相机参数的维度相同, 对角块的个数是相机变量的个数。由于路标数量会远远大于相机变量个数, 所以  $C$  往往也远大于  $B$ 。三维空间中每个路标点为三维, 于是  $C$  矩阵为对角块矩阵, 每个块为  $3 \times 3$  维矩阵。对角块我们进行高斯消元, 消去右上角的非对角部分  $E$ , 整理可得到:

$$\begin{bmatrix} B - EC^{-1}E^T & 0 \\ E^T & C \end{bmatrix} \begin{bmatrix} \Delta x_c \\ \Delta x_p \end{bmatrix} = \begin{bmatrix} v - EC^{-1}w \\ w \end{bmatrix}. \quad (10.58)$$

其中第一行方程组即：

$$[B - EC^{-1}E^T] \Delta x_c = v - EC^{-1}w. \quad (10.59)$$

我们先求解这个方程，然后把解得的\*\* $\Delta x_c$ 代入原方程，然后求解 $\Delta x_p$ \*\*即可。

- 进行了Schur消元后**S**的稀疏性的物理意义

**S**矩阵的非对角线上的非零矩阵块，表示了该处对应的两个相机变量之间存在着的共同观测的路标点，有时候称为共视。反之，若该块为0，则表示两个相机没有共同观测。



图 10-10 对 **H** 矩阵进行 Schur 消元后 **S** 矩阵的稀疏状态。

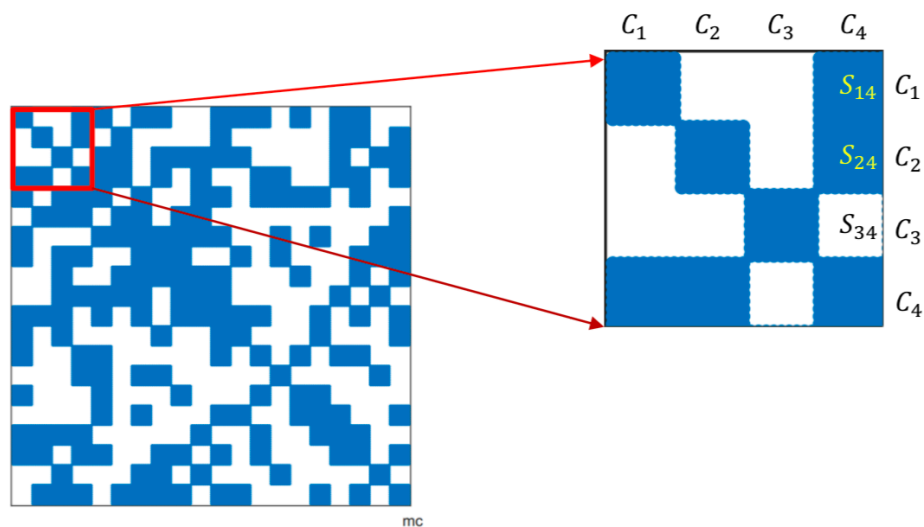


图 10-11 以 **S** 矩阵中前  $4 \times 4$  个矩阵块为例，这区域当中的矩阵块  $S_{14}, S_{24}$  不为零，表示相机  $C_4$  和相机  $C_1$  和  $C_2$  之间有共同观测的点。而  $S_{34}$  为零则表示  $C_3$  和  $C_4$  之间没有共同观测的路标。

## 10.2.4 鲁棒核函数

前面的BA中，我们最小化误差项的二范数平方和作为目标函数。若出于误匹配等原因，某个误差项给的数据是错误的，把一条原本不应该加到图中的边给加进去了，然而优化算法不能辨别出这是一个错误数据。这时算法会看到一条误差很大的边，梯度也很大，意味着调整与它相关的变量会使目标函数下降很多。\*\*出现这个问题的原因时，当误差很大时，二范数增长得太快了。\*\*故需要核函数，来保证每条边的误差不会太大，掩盖掉其他的边。具体做法为：把原先误差的二范数度量，替换成一个增长没有那么快的函数，同时保证光滑性质。

鲁棒核函数有许多种，例如最常用的 Huber 核：

$$H(e) = \begin{cases} \frac{1}{2}e^2 & \text{if } |e| \leq \delta, \\ \delta(|e| - \frac{1}{2}\delta) & \text{otherwise.} \end{cases} \quad (10.61)$$

我们看到，当误差  $e$  大于某个阈值  $\delta$  后，函数增长由二次形式变成了一次形式，相当于限制了梯度的最大值。同时，Huber 核函数又是光滑的，可以很方便地求导。图 10-12 显示了 Huber 核函数与二次函数的对比，可见在误差较大时 Huber 核函数增长明显低于二次函数。

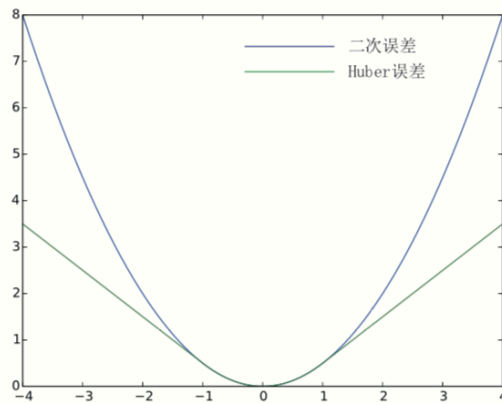


图 10-12 Huber 核函数。

除了 Huber 核之外，还有 Cauchy 核，Tukey 核等等，读者可以看看 g2o 和 Ceres 都提供了哪些核函数。

## 10.3 实践：g2o

g2o\_bundle.cpp代码修改

先注释掉标注没用的部分，然后对186行代码进行修改

```
1 //原代码
2 solver_ptr = new BalBlockSolver(linearSolver);
3 //修改为
4 solver_ptr = new BalBlockSolver(std::unique_ptr<BalBlockSolver>(linearSolver));
```

192及195行代码修改如下

```
1 //原代码
2 solver = new g2o::OptimizationAlgorithmLevenberg(solver_ptr);
3 //修改为
4 solver = new g2o::OptimizationAlgorithmLevenberg(std::unique_ptr<BalBlockSolver>
```

```
(solver_ptr));
```

然后编译后运行代码如下

```
1 ./g2o_customBundle -input ../data/problem-16-22106-pre.txt
```

附：meshlab的安装方法

```
1 sudo add-apt-repository ppa:zarquon42/meshlab
2 sudo apt-get update
3 sudo apt-get install meshlab
```

## 10.4 实践：Ceres

make时报错找不到Eigen/core，在CMakeLists文件中添加如下命令

```
1 include_directories("/usr/include/eigen3")
```

ceresBundle中17行代码需要修改：

```
1 //原代码
2 options->num_linear_solver_threads = params.num_threads;
3 //修改代码
4 options->num_threads = params.num_threads;
```

- Solver::Options::num\_threads  
Default: 1  
Ceres求Jacobain的线程数目。
- Solver::Options::num\_linear\_solver\_threads  
Default: 1  
线性解算使用的线程数。